

УДК 539.376;539.219.3

© 1998 г. А. М. ЛОКОЩЕНКО, С. А. ШЕСТЕРИКОВ

## **МОДЕЛИРОВАНИЕ ВЛИЯНИЯ ОКРУЖАЮЩЕЙ СРЕДЫ НА ПОЛЗУЧЕСТЬ И ДЛИТЕЛЬНУЮ ПРОЧНОСТЬ**

Приведен аналитический обзор основных феноменологических подходов при изучении влияния окружающей среды на ползучесть и длительную прочность металлов. Отмечено, что исследование диффузионных процессов связано со значительными вычислительными трудностями, которые возникают при представлении решения уравнения диффузии с переменными границами в удобной для анализа форме.

Проведено моделирование процесса накопления поврежденности в материале при совместном воздействии механических нагрузок и агрессивной окружающей среды. При применении кинетической теории Работникова–Качанова принимаются во внимание два параметра: поврежденность материала и концентрация химических элементов, ослабляющих сопротивление материала механическим нагрузкам. Предложено приближенное решение уравнения диффузии, которое основано на разделении поперечного сечения растягиваемого стержня на невозмущенную и возмущенную части и на определении движения границы между этими частями. Получена система определяющих уравнений, описывающих взаимодействие диффузионного и коррозионного фронтов в процессе ползучести вплоть до разрушения.

**1. Краткий обзор основных феноменологических подходов.** В данном разделе кратко рассмотрены основные феноменологические подходы, используемые при описании влияния агрессивной окружающей среды на ползучесть и длительную прочность.

Многочисленные исследования влияния окружающей среды на ползучесть и длительную прочность металлов показывают, что это влияние в основном характеризуется протекающими в металле диффузионными и коррозионными процессами. Многие результаты исследований опубликованы в монографиях [1–6], специальных тематических сборниках статей и в отдельных статьях.

В качестве основного параметра, характеризующего влияние окружающей среды на ползучесть материалов, обычно принимаются либо зависящая от растягивающего напряжения  $\sigma$  и времени  $t$  толщина поверхностного коррозионного слоя  $\delta(\sigma, t)$ , либо концентрация  $C(\sigma, t)$  в материале некоторых химических элементов, ослабляющих его сопротивление действию внешних нагрузок. В случае исследования длительной прочности в рассмотрение вводится дополнительно второй параметр – рассеянная поврежденность материала  $\omega(\sigma, t)$ . В некоторых работах учитывается дополнительная зависимость вводимых параметров  $C$  и  $\omega$  от пространственных координат. В ряде исследований авторы применяют феноменологические параметры, которым не придается какой-нибудь конкретный физический смысл.

Первые систематические исследования влияния окружающей среды на механические свойства металлов начались 50–60 лет тому назад. Г.В. Акимов [1] принимает линейный характер зависимости  $\delta$  от  $t$  при малых значениях  $t$  и параболический ха-

рактер этой зависимости с убывающей производной при больших  $t$ , зависимость же скорости  $\dot{\delta}$  от растягивающего напряжения  $\sigma$  имеет линейный характер вплоть до предела пропорциональности.

В монографиях Э.М. Гутмана [2, 3] принимается не линейная, а экспоненциальная зависимость  $\dot{\delta}(\sigma)$ , в случае сложного напряженного состояния вместо  $\sigma$  вводится в рассмотрение среднее напряжение, время коррозионного разрушения  $t^*$  соответствует времени достижения средним напряжением предела текучести.

Существенный вклад в развитие феноменологического метода с использованием параметра  $\delta$ , внесли В.В. Петров, И.Г. Овчинников и др. В монографии [4] для описания зависимости  $\delta$  от  $t$  в электрохимическом коррозионном процессе предлагается нелинейное кинетическое уравнение  $\dot{\delta} = k\delta(\delta^* - \delta)$ ,  $\delta^* = \lim \delta(t)$  при  $t \rightarrow \infty$ , которое приводит к функции  $\delta(t)$  с точкой перегиба и горизонтальной асимптотой. В [7] предложена модель коррозионного разрушения, которое определяется не только напряженным, но и деформированным состоянием материала; в этой модели скорость коррозионного процесса  $\dot{\delta}$  связана с удельной энергией деформирования разрушаемого слоя поверхности. В [8] введены понятия движущихся диффузионного  $\delta_1(t)$  и коррозионного  $\delta_2(t)$  фронтов, для  $\delta_1(t)$  принимается совершенно не связанное с уравнением диффузии кинетическое уравнение

$$\dot{\delta}_1(t) = A_1 \delta_1''(A_2 - \delta_1)'', \quad \delta_1(t=0) = 0$$

В монографии П.А. Павлова с соавторами [6] при оценке равномерного коррозионного износа в качестве поврежденности  $\omega$  рассматривается отношение  $\delta(t)/\delta^*$ , в качестве  $\delta(t)$  предлагается использовать экспоненциальную функцию времени  $\delta(t) = \delta^*[1 - \exp(-bt)]$ .

А.М. Локощенко в [9–11] использовал различные модели, основанные на введении поверхности слоя  $\delta(t)$ , для аналитического описания наблюдаемого во многих экспериментах влияния формы и размеров поперечного сечения образцов на характеристики ползучести и длительной прочности.

Во многих работах при исследовании влияния окружающей среды на ползучесть и длительную прочность металлов вводится параметр  $S(t)$ , характеризующий ослабление сопротивляемости металлов внешним нагрузкам. В ряде работ этим параметром является концентрация  $C$  некоторых химических элементов в металле, в других работах физический смысл вводимого параметра  $S$  не рассматривается, хотя очевидна его связь с концентрацией  $C$ . В большинстве работ кинетические уравнения для  $S$  и  $\omega$  имеют общий характер  $\dot{\omega} = \Phi_1(\sigma, T, \omega, S)$ ,  $\dot{S} = \Phi_2(\sigma, T, \omega, S)$ , конкретизация зависимостей и методы их определения не рассматриваются.

В.В. Петров с соавторами [5, 12, 13] придают параметру  $S$  смысл концентрации агрессивной среды  $C$ . В качестве кинетического уравнения для  $C$  принимается стандартное уравнение второго закона Фика (уравнение диффузии), для анализа длительной прочности используется стандартное уравнение  $\dot{\omega} = a\omega^n/(1-\omega)^m$ , в котором  $a$ ,  $n$ ,  $m$  являются функциями концентрации  $C$ . В [15] рассмотрено упругопластическое деформирование сплошной среды при воздействии водорода, при этом механические уравнения дополнены модифицированным уравнением диффузии, учитывающим градиент среднего напряжения в сплошной среде.

В.М. Кожеватова [15] при анализе ползучести углеродистой стали в среде водорода при  $T = 200\text{--}600^\circ\text{C}$  учитывает диффузию водорода в стали, его реакцию с углеродом и в результате – образование метана и обезуглероживание стали. В [15] применяется теория ползучести Работнова, при этом в качестве кинетического параметра используется количество продукта реакции – метана. Для упрощения учитывается резкое изменение свойств стали на фронте обезуглероживания, в качестве зависимо-

сти глубины обезуглероженного слоя  $\delta$  от времени  $t$  принимается полученная Ю.И. Арчаковым [16] функция квадратного корня  $\delta = \text{const} \sqrt{t}$ .

А.М. Локощенко и Д.А. Кулагин [17] предложили модель, основанную на использовании уравнения диффузии, которая описывает неоднородное распределение растягивающих напряжений в материале при однородном поле скоростей ползучести. С помощью этой модели авторы [17] описали известный масштабный эффект длительной прочности.

В [18] Г.Г. Максимович с соавторами при исследовании длительной прочности материалов в условиях физико-химических воздействий предлагают учитывать взаимосвязь деформационных процессов с адсорбцией, диффузией, химическими реакциями, теплопроводностью и т.п. Поведение материалов при действии механических нагрузок, окружающей среды и высокой температуры предлагается исследовать с помощью следующей системы уравнений:

$$\frac{\partial \varepsilon}{\partial t} = F_1, \quad \frac{\partial \rho_{ij}}{\partial t} = F_2, \quad \frac{\partial C_l}{\partial t} = F_3, \quad \gamma_l = F_4, \quad \frac{\partial T}{\partial t} = F_5,$$

$$F_n = F_n(\varepsilon, C_l, \rho_{ij}, \alpha, T) \quad (n = 1, 2, \dots, 5)$$

Здесь  $\dot{\varepsilon}$  – деформация,  $\dot{x}$  – пространственная координата,  $\rho_{ij}(x, t)$  – плотность дислокаций,  $C_l(x, t)$  – концентрация  $l$ -й компоненты,  $\gamma_l$  – скорость химической реакции,  $T$  – температура,  $\alpha(x, t)$  – параметр, характеризующий количество включений, пор и т.д. Функционалы  $F_n$  не конкретизируются, методы их определения не обсуждаются.

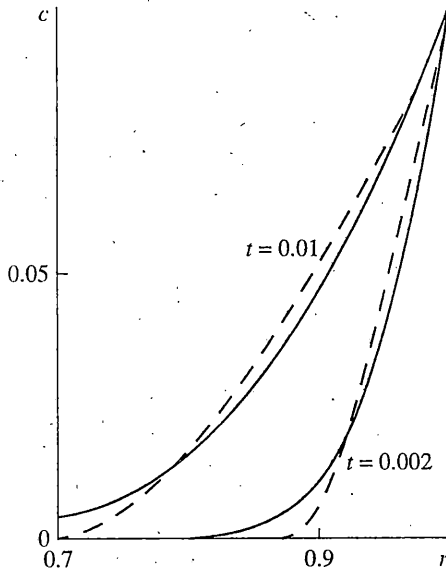
В.С. Павлина и Я.С. Матычак [19] провели анализ взаимодействия процессов диффузионного насыщения и протекания внутренней химической реакции, с этой целью они рассмотрели систему уравнений диффузии с дополнительными членами и с помощью преобразования Лапласа получили ее решение. Это решение позволяет исследовать начальную стадию однородного образования химических комплексов и выявить их влияние на кинетику перераспределения диффундирующих элементов. В [20] предложенный метод распространен на дополнительное описание сублимации легирующих элементов с одновременным распадом химических соединений в сплавах.

Г.Г. Максимович с соавторами [21] описали процесс высокотемпературного взаимодействия титановых сплавов с разреженной средой с учетом газонасыщения металла и сублимации легирующего элемента марганца. При этом они в качестве исходной модели использовали систему уравнений многокомпонентной диффузии, рассмотренную в [22], при записи граничных условий учитывалась разность химических потенциалов элементов в металле и газовой среде.

B.F. Dyson и S. Osgerby [23, 24] при анализе ползучести с учетом химических реакций рассматривают цилиндрический образец как композит, состоящий из внутренней, центральной цилиндрической части и внешней оболочки, и записывают различные уравнения для двух областей.

Следует отметить, что большинство предложенных моделей для описания влияния агрессивной окружающей среды на механические характеристики материалов не было апробировано с помощью обработки известных экспериментальных данных или решения конкретных задач, во многих работах методы вычисления используемых функций и характеристик материала не приводятся. Это обстоятельство объясняется, в частности, большими вычислительными трудностями, которые возникают при представлении решения уравнения диффузии с переменными границами в удобной для анализа форме.

Кроме рассмотренных выше подходов для исследования равномерной коррозии, в ряде работ используются две концепции, позволяющие изучать локальное развитие коррозии, проявляющееся в виде местных трещин (Р.В. Гольдштейн, В.И. Астафьев и др.) или питтингов (В.Я. Флакс).



Фиг. 1

**2. Введение диффузионного фронта.** Ниже в качестве основного параметра, характеризующего влияние окружающей среды на механические свойства материалов, будем принимать концентрацию  $C$ . В качестве примера рассмотрим осесимметричную задачу о диффузии в круговом цилиндрическом стержне радиуса  $R$ , растягивающем постоянной силой. Для простоты рассмотрим для концентрации  $C$  нулевое начальное условие, в качестве граничного условия на поверхности стержня примем равенство концентрации  $C$  постоянному значению  $C_0$ . Введем безразмерные переменные  $r = \rho/R$ ,  $c = C/C_0$ , где  $\rho$  – расстояние от оси цилиндра до произвольной точки, ниже под  $t$  будем понимать безразмерное время, определяемое отношением реального времени к  $(R^2/D)$ ,  $D$  – коэффициент диффузии. В этих безразмерных переменных задача о диффузии принимает следующий вид:

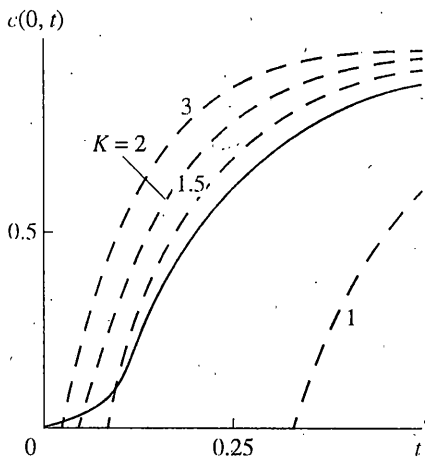
$$\frac{\partial c(r, t)}{\partial t} = \frac{1}{r} \frac{\partial}{\partial r} \left( r \frac{\partial c}{\partial r} \right), \quad c(r, 0) = 0, \quad c(1, t) = 1, \quad \frac{\partial c}{\partial r}(0, t) = 0 \quad (2.1)$$

Точные решения уравнения диффузии для тел с постоянными границами, представляемые обычно в виде тригонометрических рядов или рядов, состоящих из функций Бесселя, не всегда позволяют получить представление искомых характеристик в обозримой форме. Громоздкость решения резко увеличивается, если границы рассматриваемой области изменяются во времени, особенно если закон этого изменения заранее неизвестен.

Точное решение задачи (2.1) имеет вид [25]:

$$c(r, t) = 1 - 2 \sum_{j=1}^{+\infty} \frac{J_0(\mu_j r)}{\mu_j J_1(\mu_j)} \exp(-\mu_j^2 t)$$

где  $J_0(r)$  и  $J_1(r)$  – функции Бесселя I рода нулевого и первого порядка соответственно,  $\mu_j$  ( $j = 1, 2, \dots$ ) – положительные корни уравнения  $J_0(\mu_j) = 0$ . На фиг. 1 сплошными линиями нанесены соответствующие точному решению эпюры  $c(r)$  при  $t = 0.002$  и  $t = 0.01$ , а на фиг. 2 – зависимость концентрации  $c(0, t)$  в центре стержня от времени.



Фиг. 2

Из уравнения диффузии следует, что заметное изменение концентрации  $c$  в каждой точке стержня наступает по истечении некоторого времени, зависящего от расстояния данной точки до поверхности стержня. В связи с этим естественно разделить всю область поперечного сечения стержня на невозмущенную и возмущенную части и исследовать движение границы между этими частями (подобный подход для решения других классов задач применяли ранее С.А. Шестериков и М.А. Юмашева [26] и другие авторы).

При получении приближенного решения уравнения (2.1) введем координату  $l(t)$  диффузационного фронта ( $l(0) = 1$ ,  $l(t_0) = 0$ ) и рассмотрим две последовательные стадии решения:

$$c(r, t) = \begin{cases} 0, & 0 \leq r \leq l(t), \quad 0 < t \leq t_0 \\ \left[ \frac{r - l(t)}{1 - l(t)} \right]^k, & l(t) \leq r \leq 1, \quad 0 < t \leq t_0 \end{cases} \quad (2.2)$$

$$c(r, t) = B(t) + [1 - B(t)]r^k, \quad 0 \leq r \leq 1, \quad t \geq t_0 \quad (2.3)$$

Согласно (2.2)–(2.3) эпюры  $c(r)$  при любом  $t$  представляются в виде парабол  $k$ -й степени ( $k > 1$ ). Зависимости (2.2)–(2.3) удовлетворяют граничным условиям (2.1), определим функции  $l(t)$  и  $c(0, t) = B(t)$  из интегрального удовлетворения уравнения диффузии

$$\int_0^1 \left[ \frac{\partial c}{\partial t} - \frac{1}{r} \frac{\partial}{\partial r} \left( r \frac{\partial c}{\partial r} \right) \right] r dr = 0 \quad (2.4)$$

Подставляя (2.2)–(2.3) в (2.4), определяем функции  $l(t)$  и  $B(t)$ , а затем – концентрацию  $c(r, t)$ . Вычисления показали, что хорошее соответствие точного [25] и приближенного (2.2)–(2.3) решений уравнения диффузии (2.1) достигается при значении  $k = 1.5$ . В этом случае имеем:

$$\begin{aligned} \frac{dt}{dl} &= -\frac{4}{105}(1-l)(3+4l), \quad t(l=1) = 0, \quad t = \frac{2}{315}(1-l)^2(8l+13), \quad t_0 = \frac{26}{315} = 0.083 \\ \frac{dB}{dt} &= 7(1-B), \quad B(t=t_0) = 0, \quad B(t) = 1 - \exp\left(-\frac{26}{45} - 7t\right) \end{aligned} \quad (2.5)$$

На фиг. 1 штриховыми линиями изображены соответствующие (2.2), (2.5) эпюры  $c(r)$  при  $k = 1.5$ , а на фиг. 2 – значения концентраций  $c(0, t)$  в центре стержня при указанных значениях показателя степени  $k$ .

Введем интегрально среднюю по поперечному сечению стержня концентрацию  $c_m(t)$  и с помощью (2.2), (2.3), (2.5) вычислим зависимость  $c_m(t)$  при  $k = 1.5$ :

$$c_m(t) = 2 \int_0^1 c(r, t) r dr = \begin{cases} \frac{4}{35}(1 - l(t))(5 + 2l(t)), & 0 < t \leq t_0 \\ 1 - \frac{3}{7} \exp\left(\frac{26}{45} - 7t\right), & t \geq t_0 \end{cases} \quad (2.6)$$

В качестве примера проведем анализ экспериментальных данных, описанных в [27]. Ниже до конца этого параграфа под  $t$  понимается реальное время. Цилиндрические образцы ( $R = 2.5$  мм) из железа сначала подвергались предварительному окислению при  $1081^\circ\text{C}$  и давлении  $10^{-4}$  атм в течение  $t^\circ$  час, а затем – испытанию на ползучесть до разрушения в атмосфере аргона при той же температуре  $1081^\circ\text{C}$  при напряжении  $\sigma = 86$  МПа. На фиг. 3 сплошными линиями нанесены кривые ползучести  $p(t)$  при различных значениях  $t^\circ$ , кривые 1, 2, ..., 6 соответствуют значениям  $t^\circ = 0, 0.5, \dots, 2.5$  час. Из фиг. 3 следует, что предварительное высокотемпературное окисление в течение  $t^\circ = 2.5$  час приводит к значительному уменьшению времени разрушения  $t^*$  (в 2.7 раза). Коэффициент диффузии кислорода в железе при  $T = 1081^\circ\text{C}$  составляет  $D = 7.2 \times 10^{-8}$  см $^2$ /с [28]. Безразмерные значения времен предварительного окисления составляют соответственно 0; 0.002; 0.004; ..., 0.01. С помощью (2.5)–(2.6) вычисляются интегрально средние значения концентрации  $c_m$ : 0; 0.097; 0.136; 0.166; 0.191; 0.213.

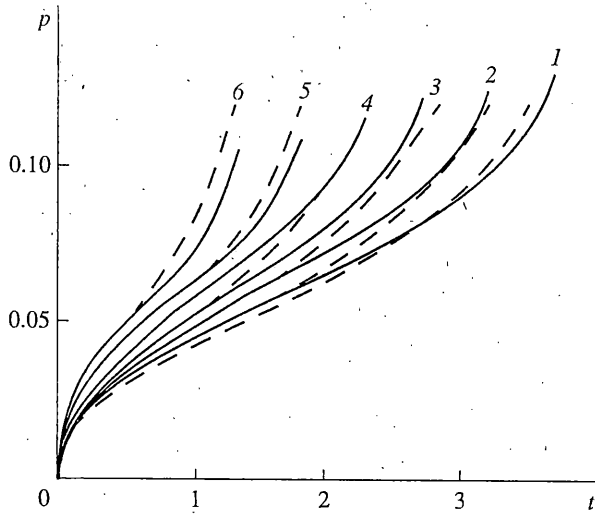
Для описания кривых ползучести вплоть до разрушения при различных  $c_m$  модифицируем уравнение [29] и дополним его деформационным критерием разрушения  $dp/dt = F(\sigma) p^\alpha \exp(\beta p)/f(c_m)$ ,  $f(c_m) = 1 - g c_m^h$ ,  $p^* = p(t^*) = 0.122 = \text{const}$ ,  $F = 0.9 \times 10^{-6}$  час $^{-1}$ ,  $\alpha = 2.5$ ,  $\beta = 51$ ,  $g = 30$ ,  $h = 2.5$ .

Теоретические кривые ползучести изображены на фиг. 3 штриховыми линиями. Из фиг. 3 следует хорошее соответствие экспериментальных и теоретических кривых.

**3. Решение задачи при учете движения диффузионного и коррозионного фронтов.** Для анализа влияния окружающей среды на длительную прочность растягиваемого постоянной силой стержня с дополнительным учетом коррозионного процесса будем использовать кинетическую теорию Ю.Н. Работнова [30] с двумя структурными параметрами – поврежденностью  $\omega(r, t)$  и концентрацией  $c(r, t)$ , где  $t$  – безразмерное время.

Поврежденность материала  $\omega(r, t)$  при ползучести является возрастающей функцией времени  $t$ . В связи с диффузией, распространяющейся от поверхности стержня ( $r = 1$ ) и ослабляющей его сопротивление внешней нагрузке, поврежденность  $\omega(r, t)$  зависит также от  $r$  (эта зависимость также возрастающая).

Принимая в качестве условия разрушения равенство  $\omega = 1$ , получаем, что в некоторый момент времени  $t = t_1$  нарушается сплошность стержня на его боковой поверхности  $r = 1$ . При  $t > t_1$  поверхность, разделяющая области неразрушенного и разрушенного материала, распространяется вглубь стержня. Назовем координату фронта разрушения  $X(t)$ , она определяется из условия  $\omega(X(t), t) = 1$ . При  $0 \leq t \leq t_1$  имеем  $X(t) \equiv 1$ , при  $t > t_1$  координата  $X(t)$  является подлежащей определению убывающей функцией времени. Так как растягивающая сила не зависит от времени, то появление фронта разрушения приводит к уменьшению площади поперечного сечения и соответственно к увеличению продольного напряжения  $\sigma$ . Для простоты считаем, что при  $t > t_1$  безразмерное напряжение  $\sigma = \sigma(t)$  не зависит от поперечной координаты  $r$ .



Фиг. 3

Рассмотрим кинетическое уравнение для поврежденности  $\omega(r, t)$  в виде

$$\frac{\partial \omega(r, t)}{\partial t} = A \left[ \frac{\sigma(t)}{1 - \omega(r, t)} \right]^n f(c(r, t)), \quad \sigma(t) = \sigma_0(X(t))^{-2} \quad (3.1)$$

$$\omega(r, 0) \equiv 0, \quad \omega(X(t), t) \equiv 1, \quad 0 \leq r \leq X(t), \quad 0 \leq t \leq t^*, \quad \sigma(t^*) = \sigma_b(t^*),$$

здесь  $\sigma_0$  – начальное значение продольного напряжения,  $\sigma_b(t)$  – предел длительной прочности в условиях действия агрессивной среды, функция  $f(c(r, t))$  характеризует степень влияния концентрации вредных химических элементов на структурную целостность материала ( $f = 1$  при  $c = 0$ ). Уравнение (3.1) характеризует постепенное разрушение поверхностных слоев стержня при  $t_1 < t < t^*$  (определенное условием  $\omega(X(t), t) = 1$  при  $\sigma(t) < \sigma_b(t)$ ), заканчивающееся разделением стержня на две части при значении времени  $t^*$  ( $\sigma(t^*) = \sigma_b(t^*)$ ).

В качестве кинетического уравнения, характеризующего изменение во времени концентрации  $c(r, t)$ , естественно принять уравнение диффузии для области с переменной внешней границей ( $0 \leq r \leq X(t)$ ):

$$\frac{\partial c(r, t)}{\partial t} = \frac{1}{r} \frac{\partial}{\partial r} \left( r \frac{\partial c}{\partial r} \right), \quad c(r, 0) = 0, \quad c(X(t), t) = 1, \quad \frac{\partial c}{\partial r}(0, t) = 0 \quad (3.2)$$

Л.М. Качанов [31] исследовал систему уравнений, аналогичную (3.1)–(3.2), которая представляет собой систему двух уравнений в частных производных с неизвестной переменной границей области. Ниже предложен приближенный метод решения задачи, который приводит ее к решению системы двух интегро-дифференциальных обыкновенных уравнений.

При решении системы уравнений (3.1)–(3.2) введем вместо  $\omega(r, t)$  другой параметр поврежденности  $\Omega(r, t)$ , который возрастает во времени от нулевого значения при  $t = 0$  до предельного значения  $[(n+1)A]^{-1}$  при разрушении:

$$\Omega(r, t) = \frac{[1 - (1 - \omega(r, t))^{(n+1)}]}{(n+1)A} = \int_0^t (\sigma(t'))^n f(c(r, t')) dt'. \quad (3.3)$$

В течение первой стадии ползучести  $0 < t < t_1$  координата фронта разрушения  $X(t) \equiv 1$ . Из (3.3) следует, что разрушение материала впервые наступает в том месте, где концентрация  $c(r, t)$  максимальна, т.е. при  $r = 1$ . Из (3.3) при  $X(t) = 1$  получаем выражение для вычисления времени первой стадии  $t_1$  (стадии скрытого разрушения):

$$\frac{1}{(n+1)A} = \int_0^{t_1} \sigma_0^n f(c=1) dt, \quad t_1 = [(n+1)A \sigma_0^n f(c=1)]^{-1}$$

При  $t > t_1$  поверхностный слой стержня начинает разрушаться и возникает фронт разрушения  $X(t)$ , перемещающийся от поверхности стержня к его оси и характеризуемый условием  $\Omega(X(t), t) \equiv [(n+1)A]^{-1} = \text{const}$ . Отсюда

$$\left[ \frac{d\Omega(r, t)}{dt} \right]_{r=X(t)} = \left[ \frac{\partial \Omega}{\partial t} + \frac{\partial \Omega}{\partial r} \frac{\partial r}{\partial t} \right]_{r=X(t)} = 0 \quad (3.4)$$

Частные производные, входящие в (3.4), имеют следующий вид:

$$\frac{\partial \Omega(r, t)}{\partial t} = (\sigma(t))^n f(c(r, t)), \quad (3.5)$$

$$\frac{\partial \Omega(r, t)}{\partial r} = \int_0^r (\sigma(t'))^n \frac{df(c(r, t'))}{dc} \frac{\partial c(r, t')}{\partial r} dt' \quad (3.6)$$

Подставляя (3.5)–(3.6) в (3.4), получаем интегро-дифференциальное уравнение для определения движения фронта разрушения:

$$dX/dt = -(\sigma(t))^n f(c(X(t), t))/I(t), \quad X(t=t_1) = 1$$

$$I(t) = \int_0^r (\sigma(t'))^n \frac{df(c(X(t), t'))}{dc} \frac{\partial c(X(t), t')}{\partial r} dt' \quad (3.7)$$

При решении этого уравнения будем рассматривать зависимость  $c$  от  $r$  как параболическую функцию с показателем степени  $k = 1.5$ . Рассмотрим случай  $t_1 < t_0$  (согласно (2.5) значение  $t_0 = 0.083$ ). При этом в процессе второй стадии разрушения в поперечном сечении стержня развиваются два фронта:  $X(t)$  и  $l(t)$ , и функция  $c(r, t)$  может быть представлена в следующем виде:

$$c(r, t) = \begin{cases} 0, & 0 \leq r \leq l(t) \\ \left[ \frac{r-l(t)}{X(t)-l(t)} \right]^{1.5}, & l(t) \leq r \leq X(t) \\ 0, & X(t) \leq r \leq 1 \end{cases} \quad (3.8)$$

Подставляя (3.8) в (2.4), получаем связь скоростей двух фронтов

$$\frac{dl}{dt} = -\left[ \frac{105X}{4(X-l)} + \frac{3(5X+2l)}{2} \frac{dX}{dt} \right] (3X+4l)^{-1} \quad (3.9)$$

Система (3.7), (3.9) решается вплоть до  $t = t_2$ , при котором  $l(t_2) = 0$ . При  $t > t_2$  наступает третья стадия процесса разрушения, в которой концентрация  $c(r, t)$  представляется в виде

$$c(r, t) = \begin{cases} B(t) + [1-B(t)] \left( \frac{r}{X(t)} \right)^{1.5}, & 0 \leq r \leq X(t) \\ 0, & X(t) \leq r \leq 1 \end{cases} \quad (3.10)$$

Подставляя (3.10) в (2.4), получаем следующее дифференциальное уравнение:

$$\frac{dB}{dt} = \frac{(1-B)}{X^2} \left( 7 + 2X \frac{dX}{dt} \right) \quad (3.11)$$

Распределение концентрации  $c(r, t)$  в третьей стадии определяется зависимостью (3.10) при выполнении уравнений (3.7) и (3.11). В случае  $t_1 > t_0$  первая стадия процесса разрушения переходит непосредственно в третью стадию. Время разрушения  $t^*$  определяется из условия  $\sigma(t^*) = \sigma_b(t^*)$ , т.е.

$$\sigma_0(X(t^*))^{-2} = \sigma_b(t^*) = \frac{2}{[X(t^*)]^2} \int_0^{X(t^*)} \sigma_b^0(t) [f(c(r, t))]^{-1/n} r dr,$$

где  $\sigma_b^0(t)$  – кривая длительной прочности при отсутствии агрессивной окружающей среды.

Рассмотрим упрощенный вариант модели. Для случая незначительной коррозии ( $(1-X) \ll 1$ ) пренебрежем движением коррозионного фронта ( $X(t) \equiv 1$ ), кроме этого, допустим, что влияние окружающей среды определяется интегрально средним по поперечному сечению стержня значением концентрации  $c_m(t)$ . В этом случае кинетическое уравнение (3.1) принимает следующий вид:

$$\frac{d\omega}{dt} = A \left( \frac{\sigma_0}{1-\omega(t)} \right)^n f(c_m(t)) \quad (3.12)$$

где функция  $c_m(t)$  определяется уравнением (2.6),  $f(c_m(t))$  – возрастающая функция, удовлетворяющая неравенству  $f \geq 1$ . Интегрирование (3.12) приводит к выражению для времени разрушения  $t^*$  при действии агрессивной окружающей среды

$$\int_0^{t^*} f(c_m(t)) dt = t_0^*, \quad t_0^* = [A(n+1)\sigma_0^n]^{-1} \quad (3.13)$$

где  $t_0^*$  – время разрушения при отсутствии окружающей среды; из (3.13) следует неравенство  $t^* < t_0^*$ .

Работа выполнена при финансовой поддержке Российского фонда фундаментальных исследований (грант № 96-01-00691).

## СПИСОК ЛИТЕРАТУРЫ

1. Акимов Г.В. Основы учения о коррозии и защите металлов. М.: Металлургиздат, 1946. 464 с.
2. Гутман Э.М. Механохимия металлов и защита от коррозии. М.: Металлургия, 1974. 230 с.
3. Гутман Э.М. Механохимия металлов и защита от коррозии. М.: Металлургия, 1981. 270 с.
4. Петров В.В., Овчинников И.Г., Шихов Ю.М. Расчет элементов конструкций, взаимодействующих с агрессивной средой. Саратов: Изд-во Сарат. ун-та, 1987. 285 с.
5. Петров В.В., Овчинников И.Г., Иноземцев В.К. Деформирование элементов конструкций из нелинейного разномодульного неоднородного материала. Саратов: Изд-во Сарат. ун-та, 1989. 159 с.
6. Павлов П.А., Кадырбеков Б.А., Колесников В.А. Прочность сталей в коррозионных средах. Алма-Ата: Наука, 1987. 211 с.
7. Овчинников И.Г. Об одной модели коррозионного разрушения // Механика деформируемых сред. Саратов: Сарат. ун-т, 1979. Вып. 6. С. 183–188.
8. Овчинников И.Г. Учет влияния жидкокометаллической среды на кинетику разрушения цилиндрической трубы // Деформирование материалов и элементов конструкций в агрессивных средах. Саратов: Сарат. политех. ин-т, 1983. С. 12–19.

9. Локощенко А.М. Влияние масштабного фактора на длительную прочность // Проблемы прочности. 1995. № 3. С. 13–18.
10. Локощенко А.М. Зависимость характеристик длительной прочности от параметров поперечного сечения образцов // Изв. вузов. Машиностроение. 1995. № 4–6. С. 5–11.
11. Локощенко А.М. Зависимость характеристик ползучести и длительной прочности от размеров поперечного сечения образцов // Физ.-хим. механика материалов. 1997. № 1. С. 70–74.
12. Овчинников И.Г., Петров В.В. Математическое моделирование процесса взаимодействия элементов конструкций с агрессивными средами // Деформирование материалов и элементов конструкций в агрессивных средах. Саратов: Сарат. политех. ин-т, 1983. С. 3–11.
13. Гарбуз Е.Р. Длительная прочность круглого бруса при кручении с учетом влияния диффузии водорода // Деформирование материалов и элементов конструкций в агрессивных средах. Саратов: Сарат. политех. ин-т. 1983. С. 25–29.
14. Овчинников И.Г., Рассада А.Б. Модель взаимодействия нагруженных элементов конструкций с водородсодержащей средой и ее приложения // Прикладные проблемы прочности и устойчивости деформируемых систем в агрессивных средах. Саратов: Сарат. политех. ин-т. 1989. С. 12–16.
15. Кожеватова В.М. К расчёту длительной прочности конструктивных элементов, работающих в контакте с водородсодержащими средами // Динамика и прочность машин. Харьков: Вища шк. 1986. Вып. 43. С. 51–60.
16. Арчаков Ю.И. Водородустойчивость стали. М.: Металлургия. 1978. 151 с.
17. Локощенко А.М., Кулагин Д.А. Анализ масштабного эффекта длительной прочности // Научн. тр. I-го междунар. семин. "Актуальные проблемы прочности". Новгород: Новг. ун-т. 1997. Т. 1. Ч. 1. С. 229–235.
18. Максимович Г.Г., Павлина В.С., Скицкий Р.Ю. Длительная прочность деформированных материалов в условиях физико-химических воздействий // Физ.-хим. механика материалов. 1976. Т. 12. № 5. С. 85–87.
19. Павлина В.С., Матычак Я.С. Диффузионное насыщение сплавов в условиях комплексообразования // Физ.-хим. механика материалов. 1984. Т. 20. № 6. С. 29–34.
20. Павлина В.С., Федирко В.Н., Матычак Я.С., Тарлума Т.С. Анализ кинетики сублимации легирующих элементов сплавов с учетом химических превращений // Физ.-хим. механика материалов. 1985. Т. 21. № 6. С. 60–64.
21. Максимович Г.Г., Федирко В.Н., Павлина В.С., Пичугин А.Т., Лукьяненко А.Г. Моделирование процессов высокотемпературной газовой коррозии титановых сплавов в вакууме // Физ.-хим. механика материалов. 1990. Т. 26. № 6. С. 29–34.
22. Павлина В.С., Матычак Я.С. Обобщенные условия массообмена и диффузионные процессы в трехкомпонентных сплавах // Физ.-хим. механика материалов. 1979. Т. 15. № 1. С. 41–48.
23. Dyson B.F., Osgerby S. Modelling synergy between creep and corrosion for engineering design // Materials and engineering design: the next decade. Eds B.F. Dyson and D.R. Hayhurst. London: Institute of Metals, 1989. P. 373–379.
24. Osgerby S., Dyson B.F. Effects of oxygen on creep performance: mechanisms and predictive modelling // Mater. Sci. and Technol. 1990. V. 6. № 1. P. 2–8.
25. Смирнов М.М. Задачи по уравнениям математической физики. М.: Наука, 1968. 112 с.
26. Шестериков С.А., Юмашева М.А. К проблеме терморазрушения при быстром нагреве // Изв. АН СССР. МТТ. 1983. № 1. С. 128–135.
27. Hough R.R., Rolls R. The influence of oxidation on the high-temperature tensile creep of iron // Metal Sci. J. 1971. V. 5. July, P. 206–209.
28. Явойский В.И., Хаазе Р., Лузгин В.П. Химическое взаимодействие неметаллических включений со сталью в твердом состоянии // Изв. АН СССР. Металлы. 1974. № 3. С. 39–45.
29. Киселевский В.Н., Косов Б.Д. Уравнение состояния для процесса ползучести упрочняющегося материала // Пробл. прочности. 1975. № 4. С. 8–16.
30. Работнов Ю.Н. Ползучесть элементов конструкций. М.: Наука, 1966. 752 с.
31. Качанов Л.М. Основы механики разрушения. М.: Наука, 1974. 311 с.

Москва

Поступила в редакцию 14.VI.1998